И. И. КУДИШ

АСИМПТОТИЧЕСКИЙ АНАЛИЗ ПЛОСКОЙ НЕИЗОТЕРМИ-ЧЕСКОЙ УПРУГО-ГИДРОДИНАМИЧЕСКОЙ ЗАДАЧИ ДЛЯ ТЯЖЕЛО НАГРУЖЕННОГО КОНТАКТА КАЧЕНИЯ

В работе исследуется плоская неизотермическая упруго-гидродинамическая задача для тяжело нагруженных цилиндров. Качение цилиндров происходит с проскальзыванием. Смазка считается несжимаемой ньютоновской жидкостью. Температурная деформация контактирующих цилиндров не учитывается, а температуры их поверхностей считаются заданными.

Указанная задача численно исследовалась в работе [1]. В [2] предложен метод определения силы трения в упруго-гидродинамическом контакте, основанный на приближенном решении ладачи о распределении температуры 7 поперек слоя смазки.

В условиях тяжело нагруженного контакта давление почти во всей области контакта, за исключением малых зон входа и выхода, близко к герцевскому. В зонах же входа и выхода на величину и характер распределения давления существенное влияние оказывает течение вязкой смазки. Именно в этих зонах формируется толщина слоя смазки. Поэтому возникает чеобходимость детального исследования решения задачи в зонах входа и выхода. Обычно применяемые сквозные численные методы решения могут привести к значительным погрешностям, особенно при режимах недостаточной смазки и масляного голодания.

Аналогично [3], исследуем поставленную задачу методом сращиваемых асимптотических разложений.

1. Займемся выводом уравнения Рейпольдся для неизотермической задачи в случае яьютоновской жидкости. Использовая обычно принимаемые допущения [4], для скорости смазки u(x, z) вдоль направления качения получим

$$u(x, z) = u_1 + (u_2 - u_1) \frac{\int_{-h/2}^{z} \frac{ds}{\mu}}{\int_{-h/2}^{h/2} \frac{ds}{\mu}} + \frac{dp}{dx} \left\{ \int_{-h/2}^{z} \frac{sds}{\mu} - \int_{-h/2}^{h/2} \frac{sds}{\mu} \frac{\int_{-h/2}^{z} \frac{ds}{\mu}}{\int_{-h/2}^{h/2} \frac{ds}{\mu}} \right\}$$
(1.1)

Здесь х и z — координаты элемента смааки, измеряемые соответственно вдоль и поперек смазочного слоя (фиг. 1); u_1 и u_2 — линейные скоростя поверхностей цилиндров; h = h(x) — завор между цилиндрами: p = p(x) — дабление в слое смазки: $u = \mu(x, z)$ — динамическая вязкость смазки.

С помощью выражения (1.1) и уравнения неразрывности

$$\frac{\partial u}{\partial x} + \frac{\partial w}{\partial z} = 0$$

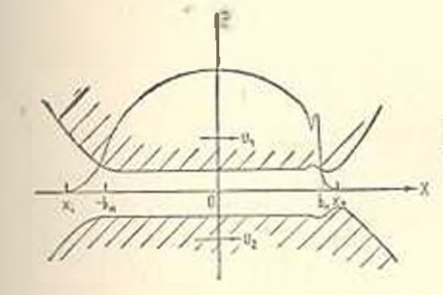
а также граничных условий

$$w\left(x, -\frac{h}{2}\right) = w\left(x, \frac{h}{2}\right) = 0$$

получим уравнение Рейнольдса в виде

$$\frac{d}{dz} \left\{ \left[\int_{-h/2}^{h/2} \frac{s ds}{\mu} \int_{-h/2}^{h/2} \int_{-h/2}^{z} \frac{ds}{\mu} dz \right] \int_{-h/2}^{h/2} \frac{ds}{\mu} - \int_{-h/2}^{h/2} \int_{-h/2}^{z} \frac{s ds}{\mu} dz \right] \frac{dp}{dx} =$$

$$= u_1 \frac{dh}{dx} + (u_2 - u_1) \frac{d}{dx} \left[\int_{-h/2}^{h/2} \int_{-h/2}^{z} \frac{ds}{\mu} dz \right] \int_{-h/2}^{h/2} \frac{ds}{\mu}$$
(1.2)



Фиг. 1. Общий вид области контакта и давления в ней.

К уравнению (1.2) необходимо добавить граничные условия в точках начала $x = x_i$ и конца $x = x_j$ области контакта

$$p(x_i) = p(x_i) = \frac{dp}{dx}(x_i) = 0$$
 (1.3)

 π также уравнение для определения h(x) [3]

$$h - h_l + \frac{x^2 - x_l^2}{R'} + \frac{4}{\pi} \int_{x_l}^{x_l} p(t) \ln \frac{x_l}{|x - t|} dt$$
 (1.4)

и условие равенства интеграла от давления по области контакта прижимающей нагрузке P

$$\int_{x_{I}}^{x_{I}} p(x) dx = P \tag{1.5}$$

Влесь $h_i = h\left(x_i\right)$ — толщина слоя смазки в точке выхода на области контакта; E' — приведенный модуль упругости материалов цилиндров, I Макетия ЛН Армянской ССР, Механика, № 6

 $\frac{1}{E^-} = \frac{1}{2} \left(\frac{1-v_1^2}{E_1} \pm \frac{2-v_2^2}{E_2} \right)$; R — приведенный радиус кривизны недеформированных цилиндров, $\frac{1}{R'} = \frac{1}{2} \left(\frac{1}{R_1} + \frac{1}{R_2} \right)$; P — прижимающих грузка.

Положим, что вязкость смазки и подчиняется закону

$$\mu = v(p) \exp\left[\Delta \left(T_0 - T\right)\right] \tag{1.6}$$

где v(p) — известная функция давления $P\colon \Delta$ — температурный коэффициент вязкости: T_a — температура смазки вне области контакта. $T=T(\mathbf{x},\mathbf{z})$ — температура смазки в области контакта.

Поскольку вязкость смазки зависит от температуры, то возникает необходимость определения температуры в области контакта. Отметим, что тепловыделение в слое смазки сбязано в основном с наличием вязкого сдвига в направления качения. Рассматривая теперь уравнение энсргии и учитывая тот факт, что потоки тепла поперек слоя смазки значительно превосходят потоки вдоль слоя, уравнение для температуры запишем в виде [4]

$$\frac{\partial}{\partial z}\left(\lambda \frac{\partial T}{\partial z}\right) = -\psi\left(\frac{\partial u}{\partial z}\right)^2$$
(1.3)

С помощью выражения (1.1) приведем уравнение (1.7) к виду

$$\lambda \frac{\partial^2 T}{\partial z^2} = -\frac{1}{\mu} \left\{ (u_2 - u_1) \left[\int_{-h/2}^{h/2} \frac{ds}{\mu} + \frac{dp}{dx} \left[z - \int_{-h/2}^{h/2} \frac{sds}{\mu} \right] \int_{-h/2}^{h/2} \frac{ds}{\mu} \right] \right\}^2 \quad (1.8)$$

К уравнение (18) необходимо добавить граничные условия

$$T\left(x, -\frac{h}{2}\right) - T_{W1}(x), \quad T\left(x, \frac{h}{2}\right) = T_{W2}(x)$$
 (1.9)

Здесь $T_{\mathbb{H}^1}(x)$ и $T_{\mathbb{H}^2}(x)$ — температура поверхностей контактирующих цилиндров; $\lambda = \lambda(p)$ — коэффициент теплопроводности смазки, занисящий лишь от давления p.

Таким образом, получена замкнутая система существенно нелинейных интегро-дифференциальных уравнений (1.2)—(1.6), (1.8) и (1.9) для определения функций p(x), h(x), T(x,z) и постоянных x_i и h_i . При этом функции $T_{0,1}(x)$ и $T_{0,2}(x)$, а также постоянные x_i R', E . P_i и T_0 являются заданными. Кроме того, предполагаются известными функции давления v(p) и T(p).

Имея в виду использование аппарата [3], необходимо исключить температуру T(x,z) из уравнения (1.2). Для этого T(x,z) должна быть явно выражена через p, λ , ν и z из уравнений (1.6), (1.8) и (1.9), что связано с определенными трудностями. Однако, для ряда случаев с помощью асимитотического подхода удается исключить из (1.2) температуру T и затем применить методы работы [3].

Введем безразмерные переменные

$$x = x_i b_{Hi} \quad z' = z/h_i, \quad y = y/y_0, \quad p = p/p_H, \quad h = h_i h_i$$

$$T' = T/T_0 - 1, \quad T_{Wk} = T_{Wk}/T_0 - 1, \quad a = x_i/b_H, \quad c = x_i/b_H$$
(2.1)

где в_н и р_и — соответственно полуширина герцевской площазки и максимальное герцевское давление. Гогда уравнения (1.2)—(1.6), (1.8) и (1.9) по разуются к виду (штрихи опущены)

$$\frac{d}{dx}\left[F_1(x)\frac{dp}{dx}\frac{V\cdot sl}{H_0^2}\left[\frac{h}{2}-F_1(x)\right]\right] = \frac{V}{H_0^2}\frac{dh}{dx}$$
(2.2)

$$p(u) = p(c) = \frac{dp}{dx}(c) = 0$$
 (2.3)

$$H_0(h-1) = x^2 - c^2 + \frac{2}{\pi} \int_0^{\pi} p(t) \ln \frac{c-t}{|x-t|} dt$$
 (2.4)

$$\int p(t) dt = \frac{\pi}{2} \tag{2.5}$$

$$\lambda \frac{\partial^{2} T}{\partial z^{2}} = -\frac{8zve^{\delta T}}{\delta \left(\int_{-h/2}^{h/2} e^{\delta T} ds\right)^{2}} \left\{1 + \frac{12H_{0}^{2}}{V \cdot sl} \frac{1}{v} \frac{dp}{dx} \left[z \int_{-h/2}^{h/2} e^{\delta T} ds - \int_{-h/2}^{h/2} se^{\delta T} ds\right]\right\}^{2}$$
(2.6)

$$T\left(x, -\frac{h}{2}\right) = T_{\mathbb{F}^1}(x), \quad T\left(x, \frac{h}{2}\right) = T_{\mathbb{F}^2}(x) \tag{2.7}$$

$$v = v(Q_v, p), \quad v = v(Q_v, p)$$
 (2.8)

$$F_{1}(x) = \frac{12}{-h/2} \left[\int_{-h/2}^{h/2} se^{-t} ds \int_{-h/2}^{h/2} e^{-t} ds dz + \int_{-h/2}^{h/2} e^{-t} ds - \int_{-h/2}^{h/2} \int_{-h/2}^{t} ds dz \right] (2.9)$$

$$F_{2}(x) = \int_{-b/2}^{b/2} \int_{-b/2}^{c} e^{-r} ds dz \int_{-b/2}^{b/2} e^{-r} ds$$
 (2.10)

моте ноп

$$\hat{\mathbf{a}} = \Delta T_0, \qquad \mathbf{a} = 2 \frac{u_1 - u_1}{u_2 + u_1} \qquad \mathbf{a} = \frac{v_0 \Delta (u_2 - u_1)^*}{8v_0} \\
V = \frac{3 (u_1 + u_2) v_0 E^{*3}}{4R' p_M^4} \qquad H_0 = \frac{h_1 R'}{h_M}$$
(2.11)

постоянные Q и Q, в (2.8) характеризуют скорость изменения функций у и ℓ с изменением p.

В дальненшем будем рассматривать режимы, для которых sl=0.

Исследуем задачу для температуры T в случае режимов масляного голодания и недестаточной смазки в тяжело нагруженном контакте. Буден предполагать, что для этих режимов имеет место соотношение

$$\frac{H_0^1}{V} \frac{1}{v} \frac{dp}{dx} = 1, \quad x \in [a, c]$$
 (2.12)

Временно будем считать $\lambda(p)$, v(p), p(x) и n(x) известными функциями x, a, x, δ , V, sl и H, — известными постоянными. При этом решение уравнений (2.6), (2.7) следует искать в виде равномерно пригодного на отреже [a,c] асимптотического представления [5].

$$T(x, z) = \sum_{k=0}^{\infty} \left(\frac{H_0^2}{V} \frac{1}{z} \frac{dp}{dx}\right)^k T_k(x, z)$$
 (2.13)

Заменив в (2.6). (2.7) T(x,z) его разложением из (2.13) и приравили коэффициенты при одинаковых степенях $\frac{H_0}{V} = \frac{1}{dx} \frac{dP}{dx}$, получим уравнения для определения $T_k(x,z)^{\pm}$

$$\frac{d^{2}T_{0}}{dz^{2}} = -8x^{3}e^{-r_{0}}h\left(\int_{-h/2}^{h/2}e^{-r_{0}}ds\right)^{2}$$

$$T_{0}\left(x, -\frac{h}{2}\right) = T_{W:}(x), \qquad T_{0}\left(x, \frac{h}{2}\right) = T_{W2}(x) \qquad (2.14)$$

$$h\frac{\partial^{2}T_{1}}{\partial z^{2}} = -8x^{3}e^{-r_{0}}h\left(\int_{-h/2}^{h/2}e^{-r_{0}}ds\right)^{2} \times \left\{\delta T_{1} - 2\delta\int_{-h/2}^{h/2}T_{1}e^{\delta T_{0}}ds\right/\int_{-h/2}^{h/2}e^{-r_{0}}ds + \frac{24z}{sl}\int_{-h/2}^{h/2}e^{\delta T_{0}}ds\right\}$$

$$T_{1}\left(x, -\frac{h}{2}\right) = T_{1}\left(x, \frac{h}{2}\right) = 0 \quad \text{if } T_{1}, Z.$$

Функция I(x,z) удовлетворяст нелинейному интегро-дифференциальному уравнению, в то время как все $T_k(x,z)$ (k=1) удовлетворяют инсиным уравнениям

Предположим, то температуры поверхностей одинаковы

$$T_{W1}(x) = T_{W2}(x) T_{W}(x)$$
 (2.16)

^{*} Указанная процедура легко обобщается на лучай когда функцин $T_{w-1-2}(z)$ гредстанным в виде рядов, аналогичных (2.13).

Тогал непосовиственной подстановкой легко убедиться, что

$$T_{0} = T_{W} + \frac{1}{5} \ln \left\{ \left(1 + z \frac{v}{h} e^{-\delta T_{W}} \right) \times \left[1 - \text{th}^{2} \left(\frac{2z}{h} \operatorname{arsh} \right) \sqrt{z \frac{v}{h} e^{-\delta T_{W}}} \right) \right\}$$

$$(2.17)$$

удоваетноряет краевой задаче (2.14).

Используя линейность краевой задачи (2.15), получим 7 (х, 2) в виде

$$= \frac{6h^{2}}{\delta sl} \int_{\frac{1}{2}}^{1} e^{iT_{s}} ds \left[\sqrt{\frac{1 + \frac{v}{\lambda} e^{-iT_{w}}}{\frac{v}{\lambda} e^{-iT_{w}}}} \operatorname{th}\left(s \operatorname{arsh} \sqrt{\frac{v}{\lambda} e^{-iT_{w}}}\right) - s \right]$$

$$s = \frac{2s}{\lambda} \tag{2.18}$$

Аналогичным образом могут быть построены и решены уравнения для $T_{*}(x,z)$ при k=2. Однако, как будет показано ниже, для исследования в главном задачи относительно p(x), H и т. д. достаточно энать лишь функции $T_{*}(x,z)$ и $T_{*}(x,z)$.

С помощью соотношении (2.17) и (2.18) удается в аналитическом визе вычислить функции $F_1(\mathbf{x})$ и $F_2(\mathbf{x})$

$$F_{1}(x) = \frac{3h^{3}e^{\delta T_{W}}\left(1 + x\frac{\sqrt{e^{-\delta T_{W}}}}{h}e^{-\delta T_{W}}\right)}{\sqrt{\left(\operatorname{arsh}\sqrt{\frac{\sqrt{e^{-\delta T_{W}}}}{h}e^{-\delta T_{W}}}\right)^{2}}} \left[\sqrt{\frac{\frac{\sqrt{e^{-\delta T_{W}}}}{1 + x\frac{\sqrt{e^{-\delta T_{W}}}}{h}e^{-\delta T_{W}}}}{1 + x\frac{\sqrt{e^{-\delta T_{W}}}}{h}e^{-\delta T_{W}}}} \times \right]$$

$$\times \operatorname{arsh}\sqrt{\frac{\sqrt{e^{-\delta T_{W}}}}{-\ln\left(1 + x\frac{\sqrt{e^{-\delta T_{W}}}}{h}e^{-\delta T_{W}}\right)} + \frac{1}{2}}{\operatorname{arsh}\sqrt{\frac{\sqrt{e^{-\delta T_{W}}}}{h}e^{-\delta T_{W}}}}} + O\left(\frac{H_{0}}{V}\frac{1}{\sqrt{dx}}\frac{dp}{dx}\right)$$

$$= \frac{h}{2}\frac{H_{0}^{2}}{V}\frac{3h^{3}e^{\delta T_{W}}\left(1 + x\frac{\sqrt{e^{-\delta T_{W}}}}{h}e^{-\delta T_{W}}\right)}\frac{dp}{dx}$$

$$= \frac{h}{2}\frac{H_{0}^{2}}{V}\frac{3h^{3}e^{\delta T_{W}}\left(1 + x\frac{\sqrt{e^{-\delta T_{W}}}}{h}e^{-\delta T_{W}}\right)}\frac{dp}{dx}$$

$$\times \left| \frac{1 + 2x \frac{v}{\lambda} e^{-vT_{W}}}{\sqrt{x \frac{v}{\lambda} e^{-vT_{W}}}} \right| \times \left| \frac{1 + 2x \frac{v}{\lambda} e^{-vT_{W}}}{\sqrt{x \frac{v}{\lambda} e^{-vT_{W}}}} \right| \times \left| \frac{1 + 2x \frac{v}{\lambda} e^{-vT_{W}}}{\sqrt{x \frac{v}{\lambda} e^{-vT_{W}}}} \right| \times \left| \frac{1 + 2x \frac{v}{\lambda} e^{-vT_{W}}}{\sqrt{x \frac{v}{\lambda} e^{-vT_{W}}}} \right| + O\left(\frac{1 + x \frac{v}{\lambda} e^{-vT_{W}}}{\sqrt{x \frac{v}{\lambda} e^{-vT_{W}}}} \right| + O\left(\frac{H_{0}^{4}}{V^{2}} \left(\frac{1}{v} \frac{dp}{dx}\right)^{2}\right)$$

$$= \frac{1 + 2x \frac{v}{\lambda} e^{-vT_{W}}}{\sqrt{x \frac{v}{\lambda} e^{-vT_{W}}}} \times \left| \frac{1 + x \frac{v}{\lambda} e^{-vT_{W}}}{\sqrt{x \frac{v}{\lambda} e^{-vT_{W}}}} \right| + O\left(\frac{H_{0}^{4}}{V^{2}} \left(\frac{1}{v} \frac{dp}{dx}\right)^{2}\right)$$

$$= \frac{1 + 2x \frac{v}{\lambda} e^{-vT_{W}}}{\sqrt{x \frac{v}{\lambda} e^{-vT_{W}}}} \times \left| \frac{1 + x \frac{v}{\lambda} e^{-vT_{W}}}{\sqrt{x \frac{v}{\lambda} e^{-vT_{W}}}} \right| + O\left(\frac{H_{0}^{4}}{V^{2}} \left(\frac{1}{v} \frac{dp}{dx}\right)^{2}\right)$$

$$= \frac{1 + 2x \frac{v}{\lambda} e^{-vT_{W}}}{\sqrt{x \frac{v}{\lambda} e^{-vT_{W}}}} \times \left| \frac{1 + x \frac{v}{\lambda} e^{-vT_{W}}}{\sqrt{x \frac{v}{\lambda} e^{-vT_{W}}}} \right| + O\left(\frac{H_{0}^{4}}{V^{2}} \left(\frac{1}{v} \frac{dp}{dx}\right)^{2}\right)$$

$$= \frac{1 + 2x \frac{v}{\lambda} e^{-vT_{W}}}{\sqrt{x \frac{v}{\lambda} e^{-vT_{W}}}} \times \left| \frac{1 + x \frac{v}{\lambda} e^{-vT_{W}}}{\sqrt{x \frac{v}{\lambda} e^{-vT_{W}}}} \right| + O\left(\frac{H_{0}^{4}}{V^{2}} \left(\frac{1}{v} \frac{dp}{dx}\right)^{2}\right)$$

$$= \frac{1 + 2x \frac{v}{\lambda} e^{-vT_{W}}}{\sqrt{x \frac{v}{\lambda} e^{-vT_{W}}}} = \frac{1 + x \frac{v}{\lambda} e^{-vT_{W}}}{\sqrt{x \frac{v}{\lambda} e^{-vT_{W}}}} \right| + O\left(\frac{H_{0}^{4}}{V^{2}} \left(\frac{1}{v} \frac{dp}{dx}\right)^{2}\right| + O\left(\frac{H_{0}^{4}}{V^{2}} \left(\frac{1}{v} \frac{dp}{dx}\right)^{$$

3. Заменив в (2.2) функции $F_i(x)$ и $F_i(x)$ их выраженяями из (2.19) и (2.20), получим

$$\frac{d}{dx} \left[W(x) \frac{dp}{dx} \right] = \frac{V}{H_0} \frac{dh}{dx} \tag{3.1}$$

$$p(a) = p(c) = \frac{dp}{dx}(c) = 0$$
 (3.2)

$$H_0(h-1) = x^2 - c^2 - \frac{2}{r} \sqrt{p(t) \ln \frac{r}{|x-t|}} dt$$
 (3.3)

$$\int_{a}^{b} p(t) dt = \frac{\pi}{2}$$

$$(3.4)$$

$$\|V(x)\| = \frac{3h^3 e^{\delta T_W} \left(1 + x - \frac{v}{e} e^{-\delta T_W}\right)}{v \left(\operatorname{arsh} \sqrt{\frac{v}{h}} e^{-\delta T_W}\right)} \left[1 + \ln\left(1 + v - \frac{v}{e} e^{-\delta T_W}\right) - \sqrt{\frac{1 + v - \frac{v}{h} e^{-\delta T_W}}{v - \frac{v}{h} e^{-\delta T_W}}} - \frac{1 + \ln\left(1 + v - \frac{v}{h} e^{-\delta T_W}\right)}{v - e^{-\delta T_W}} - \frac{1 + \ln\left(1 + v - \frac{v}{h} e^{-\delta T_W}\right)}{v - e^{-\delta T_W}} \right]$$

$$-2 \frac{\int_{0}^{1} \ln \cosh u du}{\int_{0}^{1} \ln \cosh u du} + O\left(\frac{H_{0}}{V} + \frac{1}{v} \frac{dp}{dx}\right)$$
 (3.5)

FAC

$$\int_{0}^{\infty} \ln \cosh z dz = \frac{x^{4}}{2} - x \ln 2 - \frac{\pi^{2}}{2^{4}} - \frac{1}{2} \sum_{k=1}^{\infty} \frac{(-1)^{k+1}}{2^{k}} e$$
 (3.5)

При $\delta = 0$ и $z \to 0$ функция $W'(z) - \frac{R}{y}$, что соответствует изотермическому случаю.

Для широкого класса задач упруго-гидродинамической теории смазки уравнение Реннольдса приводится к виду (3.1), причем функция W(x) определяется особенностями задачи. Так, например, в наотермической постановке для жидкости Ри-Эйрина при sl=0 функция W(x) имеет вид [6]

$$W(x) = 3 \frac{h^2}{y} \frac{u \operatorname{ch} u - \operatorname{sh} u}{u^2}, \quad u = H_0 \operatorname{ch} \frac{dx}{dx}$$
 (3.5")

 $\mathbf{3}_{Aecb} = \frac{p_H^+}{GE} \cdot G$ — модуль сдвига жидкости Ри-Эйринга.

Исследуем случай тяжело нагруженного контакта, при котором давление почти во всей области контакта близко к герцевскому. Это означает, что в уравнения (3.1)—(3.5) входит малый параметр w, связанный с параметрами V, Q, и Q таким образом, что в области

$$x - a \gg \varepsilon_c$$
, $c - x \gg \varepsilon$, npu $w \ll 1$ (3.6)

имеет место неравенство

$$\frac{H_0^2}{V} \frac{d}{dx} \left[W(x) \frac{dp}{dx} \right] \ll 1 \text{ при } n \ll 1$$
 (3.7)

Здесь - и ε_x — характерные размеры малых окрестностей соответственно точек x = a (зона входа) и x = c (зона выхода), то есть

$$u = v(\omega) \ll 1$$
, $v = v(\omega) \ll 1$ npu $\omega = \omega(V, Q_v, Q_v) \ll 1$

Область, определенную неравенствами (3.6), будем называть герцевской зоной контакта.

С помощью нерапенства (3.7) из уравнении (3.1), (3.3) и (3.4) в герчевской доне контакта получим

$$x^{2} - c^{2} + \frac{2}{\pi} \int_{a}^{b} p(t) \ln \frac{c}{|x - t|} dt = 0. \qquad \int_{a}^{b} p(t) dt = -\frac{1}{|x - t|} dt = 0.$$

$$p(x) = \int_{a}^{b} \frac{1 + 2ac + \left(\frac{c - a}{2}\right) - (a + c)x}{2 \sqrt{|x - a| (c - x)}}$$
(3.8)

Предположим, что координата входа и равна

$$a = -1 + a_1 \epsilon_u, \quad a_1 \sim 1 \quad \text{при} \quad \omega \ll 1 \tag{3.9}$$

Введем внутренине переменные в зонах входа и выхода

$$r = \frac{x - a}{\varepsilon_q}, \qquad s = \frac{x - c}{\varepsilon_q}$$

тогда асимптотиками внешнего представления p(x) в виде (3.8) соответственно будут

$$p(x) = \frac{\varepsilon_x^{3/2}}{|x|} \left[\frac{2r}{|x|^2} - \frac{\alpha_1}{|x|^2} \right] = O(\varepsilon_x^{3/2}) \text{ при } r = \text{fix}$$

$$p(x) = \frac{\varepsilon_x^{3/2}}{|x|^2} \left[\frac{1}{|x|^2} - \frac{\alpha_1}{|x|^2} - \frac{\alpha_1}{|x|^2} \right] + O(\varepsilon_x^{3/2}) \text{ при } s = \text{fix}$$
(3.10)

11я условия сращивания решений в зонах входа и выхода с внутренним представлением внешнего представления в виде (3.10) следует, что

$$p(x) = O(\varepsilon^{1/2}), \quad \frac{dp}{dx} = O(\varepsilon_0^{-1/2}) \quad \text{npn} \quad r = \text{fix}$$

$$p(x) = O(\varepsilon^{1/2}), \quad \frac{dp}{dx} = O(\varepsilon_0^{-1/2}) \quad \text{npn} \quad s \quad \text{fix}$$
(3.11)

Поэтому решение задачи (3.1)—(3.4) при условнях (3.6) и (3.7) в зонах входа и выхода будем искать в виде

$$p(x) = \varepsilon^{1} \cdot q(r) - o(\varepsilon^{1}_{q}), \quad q(r) \sim 1 \quad \text{при} \quad r \sim 1$$

$$p(x) = \varepsilon^{1} \cdot q(s) + o(\varepsilon^{1}_{q}), \quad q(s) \sim 1 \quad \text{при} \quad s \sim 1$$
(3.12)

Неизвестные постоянные, входящие в уравнения (3.1) и (3.4), будем искать в виде

$$H_0 = H_{00}(\omega) + o(H_{00}), \quad H_{00} \ll 1; \quad c = 1 + \epsilon_s \beta_1 + o(\epsilon_s), \quad \beta_1 = 1$$
 (3.13)

Ниже исследуются лишь те режимы смазывания, при которых с каждей из сторон герцевской зоны находится по одной зоне неоднородисти [5]. Это требование накладыяает определенные ограничения на размеры зон входа и выхода $\frac{1}{q}$ и сверху. Конкретный вид этих ограничения вависит от функции W(x). Например, для функций W(x), определяемых

(3.5), (3.5°) или
$$W(x) = \frac{h^3}{m}$$
 при $V(Q,p) = 1$, $y = e^{O(p^m)}$ ($m > 0$) и ∞

- С будем иметь ограничения в виде

$$\varepsilon_{a} \approx \varepsilon_{a} = Q_{s}^{-2m} \tag{3.14}$$

В случае $w=V\ll 1$ первое из ограничений (3.14) остается без изменения, и второе при Q, V^{-m} принимает вид [7]

$$=V^{-3}$$
 (3.15)

Отвлечемся на некоторое время от конкретного вида функции W(x). Рассмотрим более общую функцию W(x) по сравнению с (3.5) и (3.5), а миённо, предположим, что в зонах входа и выхода

$$W(\mathbf{x}) = w^n \mathbf{x}_{\lfloor \frac{r}{s} \rfloor}^{\kappa} H_{00}^{\kappa} W_{n} \begin{pmatrix} r \\ s \end{pmatrix} \qquad \dots \qquad W_{n} \begin{pmatrix} r \\ s \end{pmatrix} \sim 1 \quad \text{nps} \quad \begin{cases} r \\ s \end{cases} \sim 1 \quad (3.16)$$

а в герцевской зоне выполняется нерапенство (3.7). Из (3.16) в частном случае n=k=l=0 может быть получено выражение W(x) для неизотермической задачи.

Исследуя уравнения (3.1) и (3.3) в зонах входа и выхода с помощ о метода сращиваемых асимптотических разложений, получим

$$z_q \sim z_{g'} = 1$$
 (3.17)

При этом были использованы представления (3.9), (3.12), (3.13) и условие (3.14).

С помощью соотношений (3.8), (3.12) и (3.13) из уравнения (3.3) в вонах входа и выхода легко получить асимптотические представлении для $\frac{dh}{dx}$ при = (1)

$$\frac{dh}{dx} \frac{z^{1/2}}{H_{00}} \frac{2}{\pi} \int_{0}^{\infty} \frac{g(t) - \sqrt{2t}}{t - r} dt + o\left(\frac{z^{1/2}}{H_{00}}\right), \quad r \sim 1$$

$$\frac{dh}{dx} = \frac{z^{1/2}}{H_{00}} \frac{2}{\pi} \int_{-\infty}^{0} \frac{g(t) - \sqrt{-2t}}{t - s} dt + o\left(\frac{z^{1/2}}{H_{00}}\right), \quad s \sim 1$$
(3.18)

Зассь для краткости принято $\epsilon \sim \epsilon_q$ Далее с помощью метода сращаваемых асимптотических разложений, используя соотношения (3.12) (3.18), из уравнений (3.1), (3.2) и (3.4) получим в зонах входа и выхода систему уравнений для определения функций q(r) и g(s), а также постоянных A и β_1

$$\frac{A^{t}}{2} \frac{d}{dr} \left| W_0(q) \frac{dq}{dr} \right| = \frac{1}{\pi} \int_0^{\infty} \frac{q(t) - 1}{t - r} dt, \quad q(0) = 0$$
 (3.19)
$$\int_0^{\infty} \left[q(t) - 1 \frac{2t}{2t} - \frac{2t}{1} \right] dt = 0$$

$$\frac{A^{1+2}}{2} \frac{d}{ds} \left| W_{s}(g) \frac{dg}{ds} \right| = \frac{1}{-} \int_{-\pi}^{\pi} \frac{g(t) - 1 - 2t}{t - s} dt, \qquad g(0) = 0 \quad (3.20)$$

$$\int_{-\infty}^{0} \left[g(t) - \sqrt{-2t} + \frac{\beta_1}{\sqrt{-2t}} \right] dt = 0$$

Эдесь интегральные условия для q(r) и g(s) получены из рассмотрени уравнений (3.3) и (3.8) в зонах входа и выхода с привлечением условия (3.4) и условий сращивания с (3.10). Кроме этого использовались равсветва (3.9), (3.12), (3.13) и (3.14).

К уравненням (3.19), (3.20) необходимо добавить в качестве недоставших граничных условии асимптотические соотношения, вытеквющие из условий сращивания (3.10)

$$q\left(r\right) \rightarrow \sqrt{2r} + \frac{s_1}{1/2r}$$
 при $r \rightarrow \infty$ (3.21)

$$g(s) \sim 1 - 2s - \frac{\beta_1}{1 - 2s}$$
 npu $s \to -\infty$ (3.22)

Замена условия $\frac{d\sigma}{ds}(0) = 0$ на условие (3.22) правомерна, так как система уравнения (3.19) — (3.21) с условием $\frac{d\sigma}{ds}(0) = 0$ и система (3.19)—(3.22) эквивалентны, если решение первой из них существует и единственно, в решение второй системы единственно.

При асимптотическом анализе уравнений задачи для постоянной $H_{\rm ele}$ кроме того, получаем оценку

$$H_{00} = A \left(V_{\alpha}^{-n} \epsilon^{2-k} \right)^{\frac{1}{l+3}}, \quad A = A \left(\alpha_1, \ \delta, \ d, \ z, \ m, \dots \right) \sim 1 \tag{3.23}$$

Из первого неравенства (3.14) и (3.23) следует в (Vo ")
Это соотношение совместно с (3.16) определяет область применимости изложенного метода. Примерами этих областей являются (3.14) в (3.15).

Отметам, это при $\varepsilon^- \ll H_0$ с точностью до $\frac{3/2}{12}$ функция загора h(x)=1 при $x\in [a,c]$, а поэтому функция $W_0(...)$ не зависит от h. Следовательно, при ε^- уравнения (3.19)—(3.22) замкнуты. В этом случае система уравнений (3.19) (3.22) расщепляется такин образом, что коаффициент A в (3.23) определяется только давлением q(r) в эоне входа, а затем уже определяются давление g(s) и постоянная β_1 .

В случае, когда $t^{-\epsilon} \sim H_{\infty}$ при n=1, функция зазора h(x) на отрезке [a,c] меняется, вообще гоноря, на свою величину. Поэтому для замыкания системы уравнений (3.19)-(3.22) необходимо к ней добавить уравнение для h(x), так как в этом случае функция W эввисит от h.

Отметим, что можно получить иную систему уравнении для Q(F) и g(S) в вонах входа и выхода

$$q(r) = 1 \frac{2r}{2r} \left[1 - \frac{A}{2r} \right] \frac{d}{dt} \left[\frac{W_{0}(q) \frac{d}{dt}}{V_{0}(t - r)} \right]$$

$$A^{t-3} = \frac{\frac{d}{dt} \left[W_{0}(q) \frac{d}{dt} \right] dt}{V_{0}(q) \frac{d}{dt} \left[dt} \right]$$

$$g(s) = 1 \frac{2s}{2s} \left[1 - \frac{A^{t-3}}{2r} \right] \frac{d}{dt} \left[W_{0}(q) \frac{dq}{dt} \right] dt$$

$$q = \frac{A^{t-3}}{2r} \left[\frac{d}{dt} \left[W_{0}(q) \frac{dq}{dt} \right] dt}{1 - 2t} \right]$$

$$q(s) = \frac{d}{dt} \left[W_{0}(q) \frac{dq}{dt} \right] dt$$

вививалентную системе уравнений (3.19)—(3.22). Для этого достаточно вредставить исходиме уравнения (3.1)—(3.4) в виде, точно решенном относительно давления p(x), входящего в уравнение (3.3). Дальнейшее исследование полученных таким путем уравнений производится методом, кесущественно отличающимся от изложенного выше.

4. Вериемся к неизотермической задаче для ньютоновской смазки и условиях тяжело нагруженного контакта. В этом случае $H_0 = A \left(V_{\pi^0}\right)^{1/2}$. Отсюда с помощью (3.8) и (3.12) можно убедиться в справедливости неравенсти (2.12) и (3.7) для режимов масляного голодания.

Для определенности предположим, что I(Q, p) = 1 и $v = e^{Q_p p^m}$. Кроме того, будем считать, что малый параметр $u = v(V, Q_p)$ обеспечивает выполнение одного из соотношений

$$\varepsilon_q \ll Q_s^{-2/m}, \qquad \begin{vmatrix} Q & V^{-m/5} \\ \varepsilon_q \ll V^{2} \end{vmatrix}$$
(4.1)

Рассмотри: случан, когда

$$T_{\text{gr}}(-1+r) = T_{\text{gr}_0} + O(\epsilon^2), \ T_{\text{gr}}(1-\epsilon s) - T_{\text{re}_0} + O(\epsilon^2)$$

$$T_{\text{le}_0} = \text{const}, \ \epsilon > 0$$

Тогда решение системы уравнений (3.19)—(3.21) при n=k=l=0 (пьютоновская жидкость) выражается через соответствующее решение системы

уравнений для изотермического случая. При этом $W_o(q) = W_o(p) = \gamma^{-1} = \text{солst}$ и A где $A_{is0} = \text{один}$ из компонентов решения изотермической задачи. Учитывая, что при условии (4.1) решения уравнений (3.19)—(3.21) при произвольном $z_1 < 0$ имеет вид

$$q(r) = |x_1|^{1/2} q_0 \left(\frac{r}{|x_1|}\right), \qquad q(s) = |x_1|^{1/2} g_0 \left(\frac{s}{|x_1|}\right)$$

$$A(x_1) = A_1 |x_1|^{2/2}, \qquad s = s_0 |x_1|$$
(4.2)

оомула для толщины слоя смазки в точке x = c принимает особенно про-

$$h_l = A_{0i} |a_1|^{-3} (V \epsilon^2)^{1/3} \frac{b_H^2}{R^2}, \quad A_0 = 1.2613$$
 (4.3)

Функции $\pi(r)$, $\chi(s)$ и постоянные A_n и β_m являются решением изовермической задачи при $\chi_1 = -1$.

Рассмотрим режим обильной смазки для ньютоновской жидкости в случае, когда n=V-1 и Q, V^{-1} ири этом $=-V^{-1}$. Перейден в сормуле (3.23) рормально к пределу z- ири n=k-l=0, тогда получим, что $H_{\rm ell}\sim V^{-1}$. Для величины $\frac{H^{-1}}{L} = \frac{1}{L} = \frac{1}{L}$ входящей в левую часть нерзвенства (2.12), получим в зонах входа и выхода оценку

$$\frac{H_0^-}{V} \frac{1}{v} \frac{dv}{dx} - \frac{H_0^-}{V} = 12 \sim 1 \tag{4.4}$$

Таким обратом, в случае обильной смарки использованный метод построения решения для температуры $T(\mathbf{x}, \mathbf{z})$ неприменим. Это связано с тем, по в зонах входа и выхода тепловыделение, вызываемое относительным проскальзыванием поверхностей, становится соизмеримым с тепловыделением, вызываемым сопротивлением качению. Поэтому исключить из расклотрения температуру T оказывается невозможным.

Изложим метод решения системы уравнений (2.2)—(2.10) при $\lambda = 1$, позволяющий в данном случае также получить асимптотически справедливые уравнения в зонах яхода и выхода.

Отметим, что в герпенской зоне $\frac{H}{V} \frac{1}{v} \frac{dx}{dx} \sim V$. [1, поэтому, как и ранее, в атой зоне оказывается возможным исключить на рассмотрения емпературу $\Gamma(x, z)$ и свести задачу к уравнениям (3.1)—(3.5). Поэтому с помощью (3.6) и (3.7) на уравнений (3.1), (3.3) и (3.4) получим глав-

В случае, когда значения показателой степеней n, k и l отличны от нуля, в 2 cootношениях (4.2) изменится лишь равенство для $A(z_1)$ то есть $A(z_2)$ $A_1 \begin{bmatrix} z_1 \end{bmatrix}^{l-1}$ Соответственно изменится и формула (4.3) для h_1 .

член асимплотики давления в герцевской зоне в виде (3.8). Отсюда вытехает справедливость формулы (3.10), (3.11). Поэтому решение зада(2.2)—(2.10) в зонах входа и выхода для $\rho(x)$, H_a и с будем искать в виде (3.12) и (3.13), а для T(x, z)— соответственно

$$T(x, z) = T_{s}(r, z) + o(1), T_{t}(r, z) - 1 \text{ npn } r - 1$$

 $T(x, z) = T_{0}(s, z) - o(1), T_{t}(s, z) - 1 \text{ npn } s - 1$

$$(4.5)$$

При этом можно показать, что $z_1 = z_2 = V^{2,1}$ и в зонах входа и выхо-

$$F_{s}(r) = F_{s}\left(\frac{r}{s}\right) - o(1), \quad F_{s}\left(\frac{r}{s}\right) - 1 \text{ при } \left\{\frac{r}{s}\right\} \sim 1, \quad k = 1, 2 (4.6)$$

Применяя изложенную выше методику сращиваемых асимятотических разасжений, с помощью соотношении (3.12), (3.13), (4.5) и (3.18) в зонах егода и выхода получим связанную систему нелинейных интегро-диффевенциальных уравнений

$$\begin{aligned} \frac{A^{3}}{2} & \frac{d}{dr} \left[F_{10}(r) \frac{dq}{dr} + \frac{s!}{A^{2}} \left[\frac{h_{0}(r)}{2} - F_{20}(r) \right] \right] = \frac{1}{\pi} \int_{-\pi}^{\pi} \frac{q(r) - \sqrt{2}t}{t - r} dt \quad (4.7) \\ q(o) &= 0, \quad q(r) - \left[\frac{2r}{2} + \frac{\pi_{1}}{\sqrt{2}r} \right] \int_{0}^{\pi} \left[q(t) - \left[\frac{2t}{2} - \frac{\pi_{1}}{\sqrt{2}t} \right] \right] dt = 0 \\ & \frac{\partial^{2} T_{1}}{\partial t^{2}} = -\frac{8re^{-\frac{r}{4}r^{2} + \frac{r}{2}T_{1}}}{2\left[\left(\int_{-h_{1}/2}^{\pi} e^{-t} ds \right)^{\frac{r}{2}} \left[1 + \frac{12A^{2}}{4}e^{-\tau_{1}q^{2}} \frac{dq}{dr} \right] = \int_{-h_{1}/2}^{h_{1}/2} dt - \frac{r}{2} \int_{-h_{1}/2}^{\pi} ds \\ & - \int_{-h_{1}/2}^{\pi} ds \right]^{\frac{r}{2}} \\ & - \int_{-h_{1}/2}^{\pi} ds \left[\int_{-h_{1}/2}^{\pi} ds \right]^{\frac{r}{2}} \int_{-h_{1}/2}^{\pi} ds \\ & - \int_{-h_{2}/2}^{\pi} ds \left[F_{10}(s) \frac{dg}{ds} + \frac{st}{A^{2}} \left[\frac{h_{1}(s)}{2} - F_{20}(s) \right] \right] = \frac{1}{\pi} \int_{-\infty}^{\pi} \frac{r(t) - V - 2t}{t - s} dt \\ & = g(0) = 0, \quad g(s) - V - 2s - \frac{\pi_{1}}{V - 2s} \end{aligned}$$

$$\begin{split} \int_{-\infty}^{0} \left[g\left(t \right) - V \, \overline{-2t} + \frac{\beta_1}{\sqrt{-2t}} \right] dt &= 0 \\ \frac{\partial^2 T_0}{\partial z^2} &= -\frac{8ve^{\eta g^m + \tilde{n}T_0}}{\frac{h_g/2}{e^{\tilde{n}T_0}ds}} \left\{ 1 + \frac{12A^2}{sl} \, e^{-\eta g^m} \, \frac{dg}{ds} \, \left[z \int_{-h_g/2}^{h_g/2} e^{\tilde{n}T_0} ds - \frac{h_g/2}{sl} \right] \right\} \\ &- \int_{-h_g/2}^{h_g/2} se^{\tilde{n}T_0} ds \, \left[\left[\int_{-h_g/2}^{h_g/2} e^{\tilde{n}T_0} ds \right] \right]^2 \\ &- \int_{-h_g/2}^{h_g/2} se^{\tilde{n}T_0} ds \, \left[\left[\int_{-h_g/2}^{h_g/2} e^{\tilde{n}T_0} ds \right] \right]^2 \\ &- \int_{-h_g/2}^{h_g/2} se^{\tilde{n}T_0} ds \, \left[\left[\int_{-h_g/2}^{h_g/2} e^{\tilde{n}T_0} ds \right] \right]^2 \\ &- \int_{-h_g/2}^{h_g/2} se^{\tilde{n}T_0} ds \, \left[\int_{-h_g/2}^{h_g/2} e^{\tilde{n}T_0} ds \right] \, \left[\int_{-h_g/2}^{h_g/2} e^{\tilde{n}T_0} ds \,$$

Для того, чтобы система уравнений (4.7) стала замкнутой, к не е обходимо добавить уравнения для определения зазора $h_q(r)$ в зоне вхири $h_{\bar{q}}(s)$ в зоне выхода

$$A[h_{q}(r)-1] = \frac{2}{\pi} \left\{ \int_{-\infty}^{0} \left| t(t) - V - 2t + \frac{\beta_{1}}{V-2t} \right| \ln t dt - \int_{0}^{\infty} \left[q(t) - V - 2t - \frac{z_{1}}{V-2t} \right] \ln |r-t| dt \right\}$$

$$A[h_{t}(s)-1] = \frac{2}{\pi} \int_{-\infty}^{0} \left[q(t) - V - 2t + \frac{\beta_{t}}{V-2t} \right] \ln \left| \frac{t}{s-t} \right| dt \quad (4.8)$$

Кроме того, а процессе вывода уравнений (4.7) и (4.8) из сравнения прядка членов получим оценку

$$H_{00} = A V^{T}$$
, $A = A (x_1, a, sl, x_1, m) \sim 1$ (45)

Таким образом, как в случае масляного голодания, так и в случе обильной смазки удается достаточно подробно исследовать воны входа выхода.

Формулы (3.23), (4.3) и (4.9) для толщины слоя смазки по структура полностью совпадают с соответствующими формулами для изотермического процесса смазывания [7] и отличаются лишь постоянными A.

Остановныся на формулах для касательных напряжений

$$\frac{v_0(u_1 - u_2)}{2h_2} = \frac{v}{2} \frac{v}{\int_{-h/2}^{h/2} e^{-\tau} ds} \left\{ l - \frac{12H_0^2}{V} - \frac{dp}{dx} \left[z \int_{-h/2}^{h/2} e^{sT} ds - \int_{-h/2}^{h/2} se^{-\tau} ds \right] \right\}$$
(4.10)

Оденим разность касательных напряжений, возникающих на трущихся поверхностях. Тогда на (4.10) получим

$$z'\left(x, \frac{h}{2}\right) - z'\left(x, -\frac{h}{2}\right) = 12 h \frac{H_0^2}{V} \frac{dp}{ds}$$
 (4.11)

Поэтому в условиях масляного голодания, как это следует на (2.12), в качестве ввеательного напряжения на обенх поверхностях с ошибкой порядка

$$\frac{vst}{\int_{-h^2}^{h^2} e^{-t}ds} = \frac{1}{h\left(1 - z\frac{v}{h}e^{-t}T_W\right)} \frac{1 + z - e}{x - e^{-t}T_W}$$

$$\frac{1 + z - e}{x - e^{-t}T_W}$$

$$(4.12)$$

О, р Эта примума при м 1 и ч — е совнадает с формумой, полученвой в работе [2].

Для рассмотренного выше режима обильной смазки формула (4.12) справедлива лишь в герцевской зоне, а в зонах входа и выхода касательное напряжение т необходимо вычислять по формуле (4.10), где температура в давление определяются из решения системы (4.7), (4.8): это непосредственно вытекает на (4.4). Тем не менес, приняв $1 = Q - Q \cdot (1) = V$ с малой ошибкой силу трения можно вычислять по формуле (4.12) как для режима масляного голодания, так и для режима обильной смазки. При этом в (4.12) следует положить $h = 1, p = 1, \frac{1-x^2}{1-x^2}$.

В случае, когда в герцевской зоне функция у остается ограниченной,

расчет силы трения $F_{1p} = \int z dx$ необходимо произподить по формуле

(4.10).

В заключение отметим, что изложенный метод без существенных измеичний может быть применен к контактно-гидродинамическим задачам для

толотой полосы при различных зависимостях вязкости от давления и температуры, например,

$$v(p) = \begin{vmatrix} \exp\left(\frac{\alpha, p^m}{1 + \alpha p^k}\right), & p \leq p^n \\ \exp\left(\frac{\alpha, p^m}{1 + \alpha p^k}\right), & p > p_n \end{vmatrix}$$

При других зависимостях вязкости от температуры в результате асимптотического анализа может быть получена система уравнении, в определенном смысле аналогичная системе (4.7), (4.8).

5. Проидлюстрируем полученные результаты на примере численног решения системы уравнений (3.19)—(3.22) при l=0 и $W_1(x)$, вычисляемо с помощью (3.5) и (3.12). В силу справедливости неравенства для режимов масляного голодания в (3.5), полагалось h=1. Вычисления производились с помощью разностной схемы, аналогичной [3]; при этом ощибка не презышала 2%. Расчеты были проведены для $\eta=1$ и $\eta=0$ при m=1 и различных значениях $x_1, m_1 \times u^2 T_{W0}$ (см. формулы (4.2)). Значения $A(x_1, m_2, x_3)$ приведены в табл. 1. Для сраянения в этом табл. 1 приведены значения коэффициентой $m_1(x_1)$, соответствующие изотермической постановке задачи при температуре смазви $T=T_0=T_{W0}=0$ и $r_1=1$, $r_2=0$ и m=1.

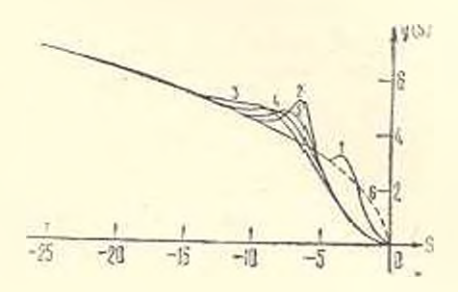
Таблица 1					
a :	ν.	Two	7. O	A 150 1.9789	A 1,9613
-2	0.008	0	1	1.8919	1,8840
5	0,008	n	0	3 7648 3.5843	3.7149 3.5792
-5	0,5	n	0	3.7648 3.5843	3.4015 3.2817
- 5	n 5	1	0 1	3.7648 3.5843	2.5684 2.4857
-5	n s	2	D L	3.7648 3.5843	1.8831 1.8186

Из табл. 1 видно, что при $T_{\rm IIM}=0$ неизотермическое поведение смазми слабо сказывается на величине A, а, следовательно, и на толщине слов смазки h_1 , в то время как при $T_{\rm IMO}=1$ и $T_{\rm IMO}=2$ имеет место существенное уменьшение h_1 по сравлению с полученным в изотермической постановке задачи. Кроме того, из табл. 1 следует, что для приближенного вычно ления h_1 в условиях масляного голодания можно пользоваться формулов (4.3) при в Q^{-2m}

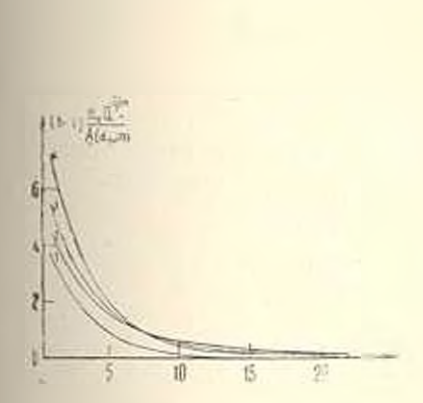
$$h_{\ell} = 1.2613 \, \gamma \, |z_{1}|^{2/3} (VQ^{-1})^{1/3} \frac{h_{N}^{3}}{R^{2}}$$
 (5.1)

На риг. 2 приведены кривые g(s) для некоторых значений α_i , α_i и T_{BTD} при $\eta=1$ и m=1. Отметим, что эпюры g(s) при $\alpha=0.008$ практически совпадают с соответствующими эпюрами, полученными из решения изотермической задачи. С увеличением α_i локальный максимум (пик)

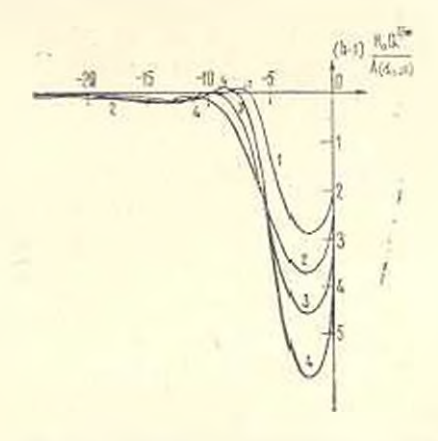
Онг. 2 Распределение давления и воне выхода при m-1 и Q^{-1} . 1. $\tau_1 = -2$. z = 0.003, Taro = 0; 2. $\tau_1 = 5$, z = 0.003, Taro = 0; 3. $z_1 = -5$, z = 0.5, Taro = 0; 4. = -5, z = 0.5, Taro = 1; 5. $z_1 = -5$, z = 0.5, z = 0.5, z = 0.5, z = 0.5; 6. no Fergy $u(-s)1 = 2\pi$.



e(s) смещается к центру площадки контакт и увеличивается по величиве. При увеличении и пик g(s) уменьшается и также смещается к центру области контакта; при этом наблюдается более медленный выход на герцевское решение. С увеличением f(s) ник g(s) незначительно смещается в сторону выхода из области контакта. Давление в эоне входа является мо-



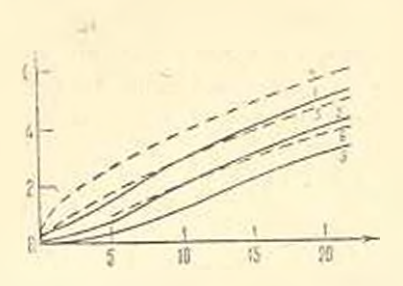
Фиг. 3. Профиль завора между пилинарами в воне входа при m=1. Q^{-2} н $\tau_1=-5$. 1. z=0.008, T u00; 2. z=0.5, T u00; 3. z=0.5, q7 q70 1; 4. z=0.5, q7 q70 2.



Фиг. 1. Профиль завора между пили драми в воис выхода при $m=1, \dots Q^{-1}$ и $z_1 = -5$.

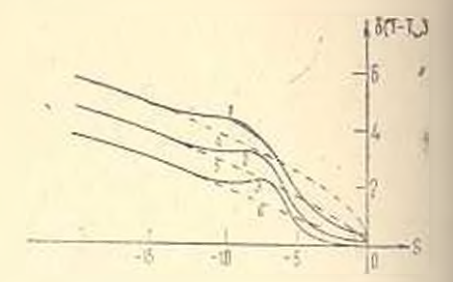
1. $z_1 = 0.008$, $T_{W0} = 0$; 2 = 0.5, $T_{W0} = 0$; 3 = 0.5, $a_1 = 0.5$, $a_2 = 0.5$, $a_3 = 0.5$, $a_4 = 0.5$, $a_4 = 0.5$, $a_5 = 0.5$, a

нотонно возрастающей функцией. При этом в окрестности, примыклющей к α_0 , оно несколько выше, а в области больших давлений несколько ниже давления, полученного в изотермической постановке. Поведение 1930ра $h(\mathbf{x})$ такое же, как и изотермической постановке, однако значения $h(\mathbf{x})$ могут существенно отличаться от полученных в изотермической постановке (фиг. 3, 4). Это отличие в основном связано с поведением величины A при изменении \mathbf{x} и δT_{W0} .



Фиг. 5. Профиль температуры T(x, 0) в зоне входа при m = 1. $= Q^{-1} = 3$. —5 и n = 0.5.

Тwо = 0; 2. è Two = 1; 3. è Two = 2;
 температура, вычислением по Герцу;
 Тwо = 0; 5. è Two = 1; 6. è Two = 2.



Фиг. в. Профияв температуры T(x, 0) и зоис выходе при m=1.3 O^{-2} $a_3=-5$ и x=0.5

1 $T_{W^{+}}$ 0; 2. $4T_{W^{0}}$ 1; 3. $^{3}T_{W^{0}}$ = 2; то пература T(x, 0), вычисленная по Герцу; 4. $T_{W^{0}}$ 0; 5. $4T_{W^{1}}$ 1; о. $3T_{W^{0}}$

На фиг. 5 и 6 изображены графики функций I(x, 0) соответствена в зоне входа и выхода, характер которых, как следует из (2.17), определается поведением давления.

Всесоюзный научно-исследовательский конструкторско-технологический институт подшилинковой промышленности

Поступнае 23 VIII 1977

b. b. 408965

ՀԱՐԹ ԱՆՀԱՎԱՍԱՐԱԶԵՐՄ ԱՌԱՉԳԱ-ՀԻԳՐՈԳԻՆԱՄԻԿ ԽՆԳՐԻ ԱՍԻՄՊՏՈՏԱԿԱՆ ՎԵՐԼՈՒԾՈՒՄԸ ԾԱՆՐ ԲԵՌՆԱՎՈՐՎԱԾ ՃՈՃՄԱՆ ԿՈՆՏԱԿՏԻ ՀԱՄԱՐ

Und iponipord

Ասիմպառտական վերլուծությունների միակցման մեթոդով ուսումնասիրվել է Տարթ անհավասարաջնրմ խնդիրը ճյուտոնյան հեղուկի համար ծանր բեռնավորված ճոճման կոնտակաի դիպքում։

Յուղային բաղջի, անրավարար և լիառատ յուղման ռեժիմների համար ստացվել են ասիմպտոտական դնահատականներ յուղման շերտի հաստության համար ստացվել են և թվային եղա-Եյան համար, Յուղային բաղցի դեպքի համար ստացվել են և թվային եղանակներով լուծվել են ասիմպտոտիկ ձնչման գլխավոր անդամների համար հավասարումները իւնդրի պարամնարների տարբեր արժերների դեպքում։ Ցույց է տրվում, որ լուղման շերտի հաստությունը որոշվում է ինչպես մուտբի, այնայնս էլ ելքի դոնաներով։

ASYMPTOTIC ANALYSIS OF A PLANE NONISOTHERMAL ELASTO-HYDRODYNAMIC PROBLEM FOR A HEAVY-LOADED ROLLING CONTACT

I. I. KUDISH

Summary

A plane nonisothermal elasto-hydrodynamic problem for Newtonialiquid is studied by the method of matched asymptotic expansions in case of a heavy-loaded contact. Asymptotic estimations for the lubricant lilm thickness were obtained for starved and fully flaoded conditions. In case of starved conditions the equations for major members of pressure asymptotics were derived and numerically solved for various values of the problem parameters.

ЛИТЕРАТУРА

- 1. Чент. Штерилилт Численное решение для давления, температуры и толщины смазочной пленки между двумя бесконечно длинными катящимися и скользящими цилинарами при больших насрузках. Теоретические основы инженерных расчетов, 1965, № 3, изд. «Мир».
- Линист Уолоунт. Упрощенный анализ сил трения при упруго-гидродинамическом контакте в угловиях качения со скольжением. Тр. Америк. об-ва инж.-механ. Проблемы грения и смазки, 1971, т. 93. № 1.
- Кулиш И. И. Упруго-гидродинамическая задача для тяжело нагруженного контакта качения Иза. АН Арм. ССР. Механика, 1978. т. XXXI, № 1.
- Коднир Д. С. Контактная гидродинамика смазки деталей машин. М., изд. «Машиностроение», 1976.
- 3. Ван-Дайк . У Методы возмущений в механике жидкости. М. изд «Мир», 1967.
- Кудиш И И Определение толидном слоя смарки в условиях масляного голодания для авнейного контакта. «Трудь института». № 1 (91). М., Специнформцентр ВНИППа. 1977
- Кумии И И Асимптотическое решение плоской изотермической контактно-гимродинамической задачи. Темисы докладом Всесоюзной научной конференции «Смешанные задачи механики деформируемого тела», ч. 1. Ростов-на-Дону, 1977.